

Sistematización morfo-funcional del complejo motor facial del perro. Análisis de las neuronas de origen de los ramos periféricos del nervio facial, identificadas por transporte axónico retrógrado de peroxidasa.

Alberto Prats Galino

ADVERTIMENT. La consulta d'aquesta tesi queda condicionada a l'acceptació de les següents condicions d'ús: La difusió d'aquesta tesi per mitjà del servei TDX (www.tdx.cat) ha estat autoritzada pels titulars dels drets de propietat intel·lectual únicament per a usos privats emmarcats en activitats d'investigació i docència. No s'autoritza la seva reproducció amb finalitats de lucre ni la seva difusió i posada a disposició des d'un lloc aliè al servei TDX. No s'autoritza la presentació del seu contingut en una finestra o marc aliè a TDX (framing). Aquesta reserva de drets afecta tant al resum de presentació de la tesi com als seus continguts. En la utilització o cita de parts de la tesi és obligat indicar el nom de la persona autora.

ADVERTENCIA. La consulta de esta tesis queda condicionada a la aceptación de las siguientes condiciones de uso: La difusión de esta tesis por medio del servicio TDR (www.tdx.cat) ha sido autorizada por los titulares de los derechos de propiedad intelectual únicamente para usos privados enmarcados en actividades de investigación y docencia. No se autoriza su reproducción con finalidades de lucro ni su difusión y puesta a disposición desde un sitio ajeno al servicio TDR. No se autoriza la presentación de su contenido en una ventana o marco ajeno a TDR (framing). Esta reserva de derechos afecta tanto al resumen de presentación de la tesis como a sus contenidos. En la utilización o cita de partes de la tesis es obligado indicar el nombre de la persona autora.

WARNING. On having consulted this thesis you're accepting the following use conditions: Spreading this thesis by the TDX (www.tdx.cat) service has been authorized by the titular of the intellectual property rights only for private uses placed in investigation and teaching activities. Reproduction with lucrative aims is not authorized neither its spreading and availability from a site foreign to the TDX service. Introducing its content in a window or frame foreign to the TDX service is not authorized (framing). This rights affect to the presentation summary of the thesis as well as to its contents. In the using or citation of parts of the thesis it's obliged to indicate the name of the author.

UNIVERSIDAD DE BARCELONA

FACULTAD DE MEDICINA

' SISTEMATIZACION MORFO-FUNCIONAL DEL COMPLEJO MOTOR
FACIAL DEL PERRO. ANALISIS DE LAS NEURONAS DE ORIGEN
DE LOS RAMOS PERIFERICOS DEL NERVIO FACIAL, IDENTI-
FICADAS POR TRANSPORTE AXONICO RETROGRADO DE PERO-
XIDASA' .

Tesis Doctoral presentada para
aspirar al Grado de Doctor

Alberto PRATS GALINO

Barcelona, 1987

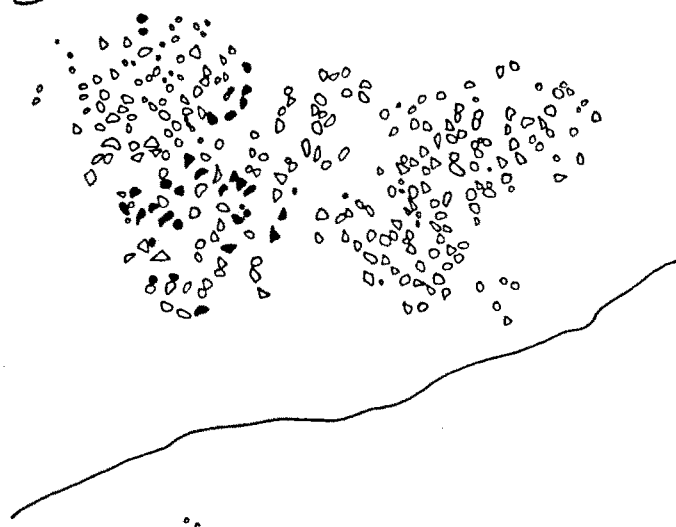
ICONOGRAFIA

Fig. 26.- Localización caudo-craneal observada en siete niveles representativos del núcleo facial, de las neuronas marcadas tras la aplicación de HRP en el ramo auricular anterior.

5.5



3.6



2.6



0.8



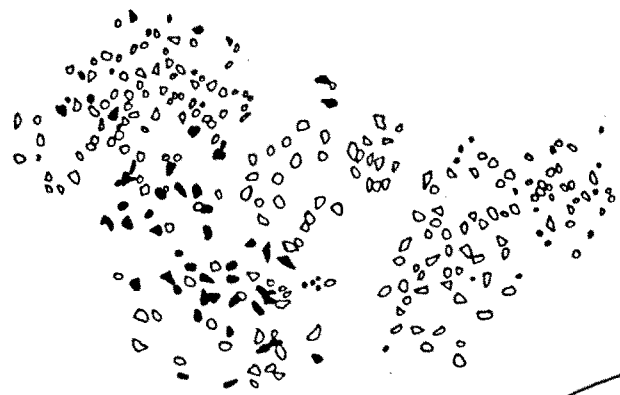
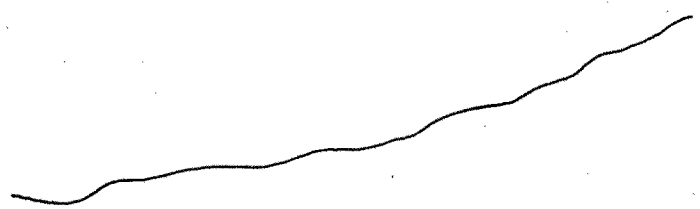
FIG. 26



8.9



8.0



7.1



FIG. 26

Fig. 27. - Distribución de la población auricular anterior en el seno del subnúcleo intermedio-medial, porciones más ventrales del subnúcleo dorsomedial, y porciones dorsales del subnúcleo ventromedial.

Fig. 27. 1a. - Nivel caudal. (x40).

Fig. 27. 1b. - Detalle. (x80).

Fig. 27. 2a. - Nivel medio-caudal. (x40).

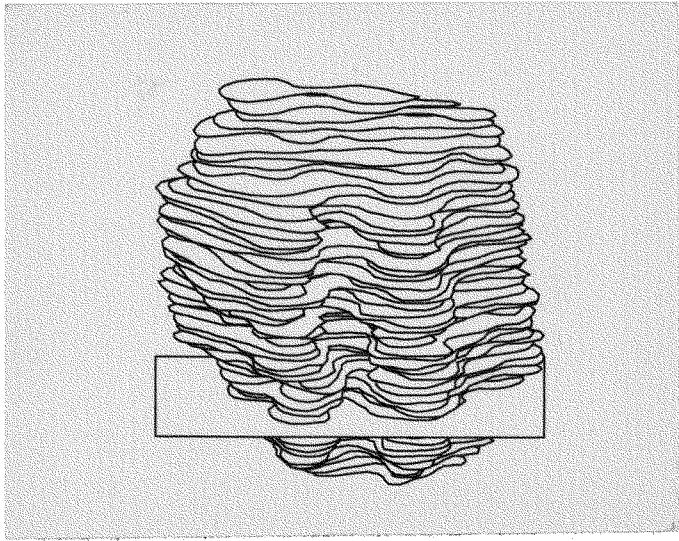
Fig. 27. 2b. - Detalle. (x80).

Fig. 27. 3a. - Nivel medio-craneal. (x40).

Fig. 27. 3b. - Detalle. (x80).

Fig. 27. 4a. - Nivel craneal. (x40).

Fig. 27. 4b. - Detalle. (x80).



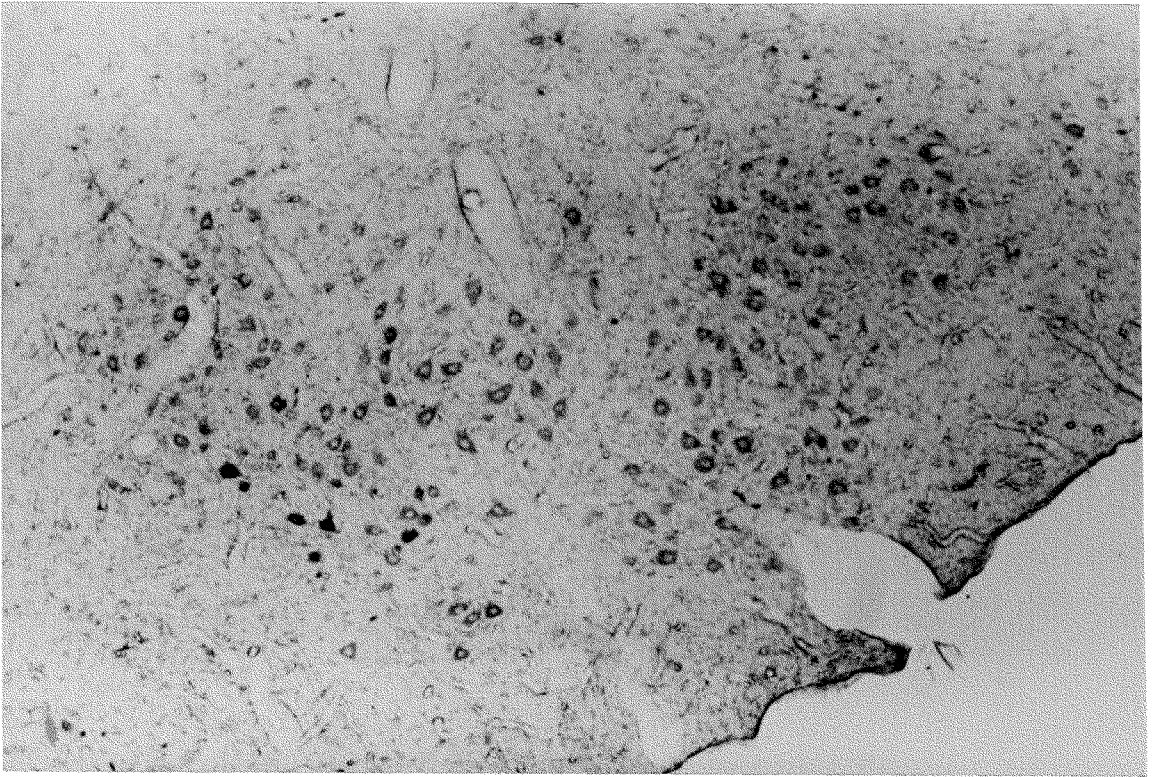


Fig. 27. 1a

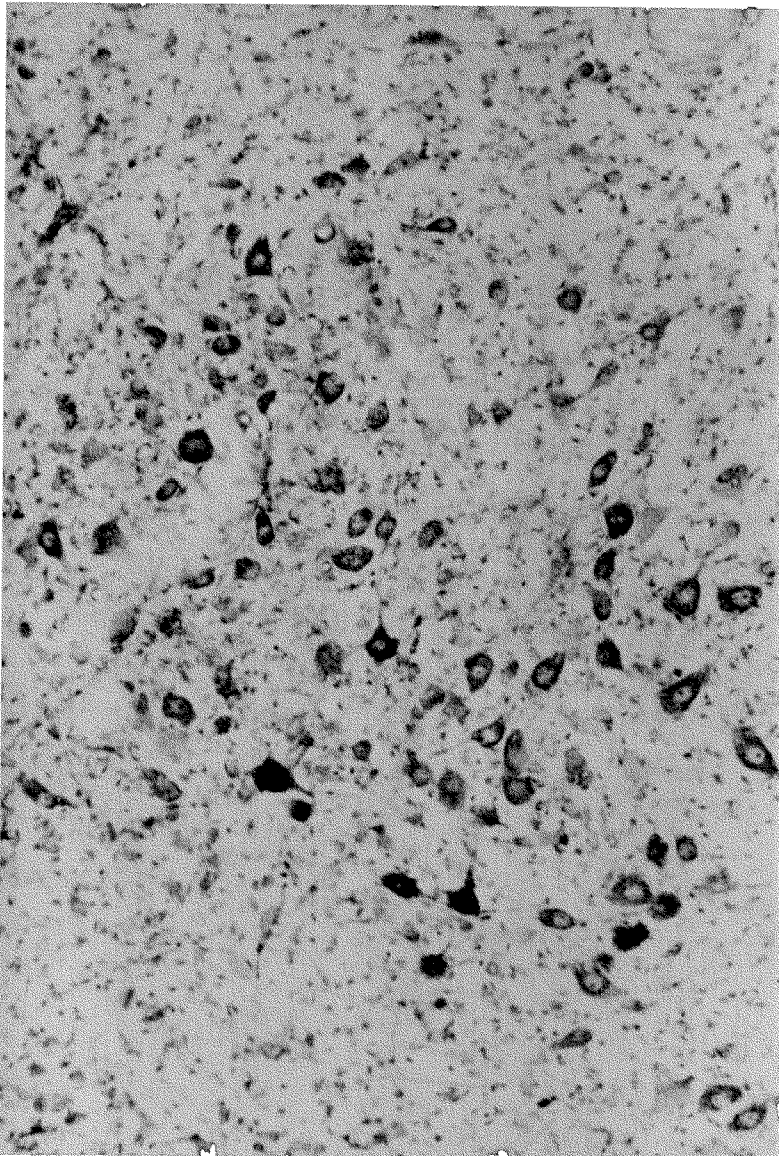
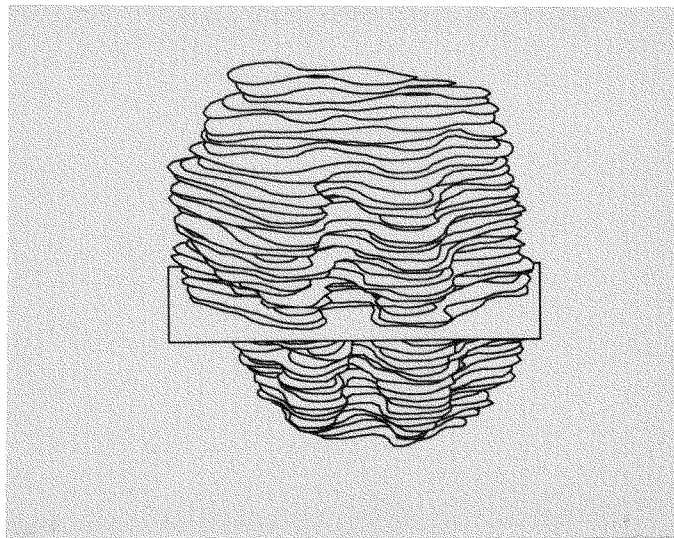


Fig. 27. 1b



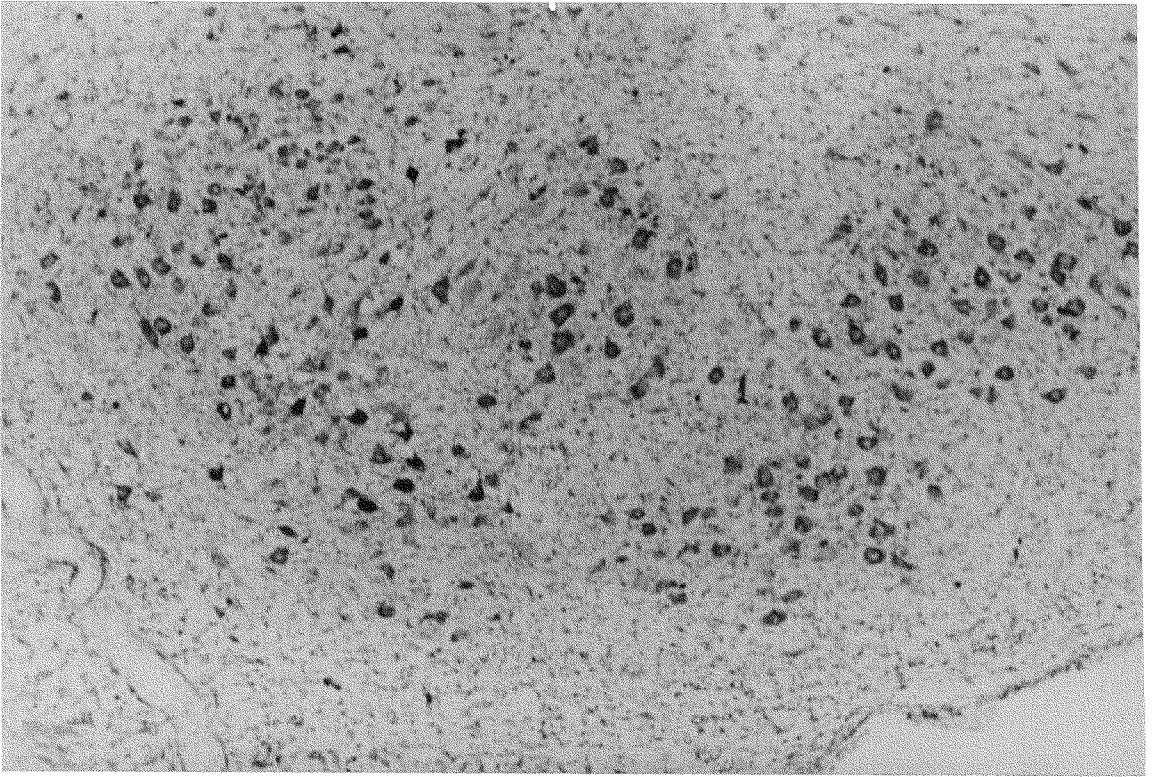


Fig. 27. 2a

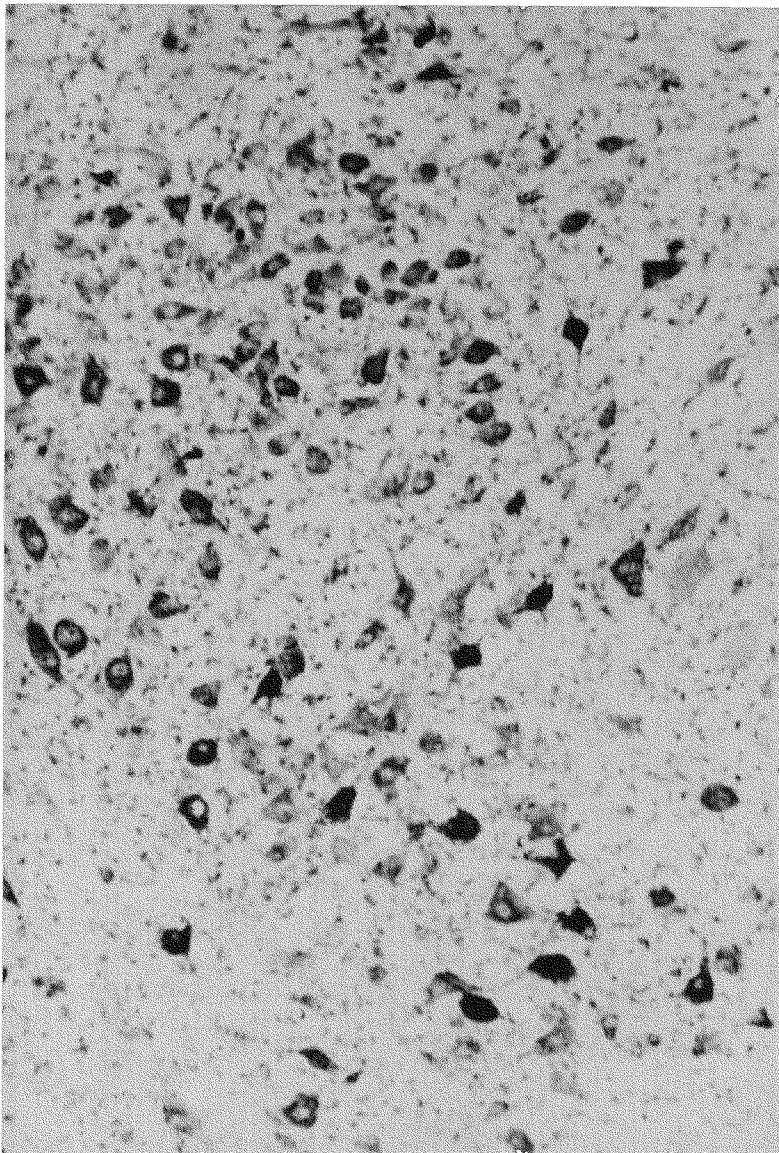
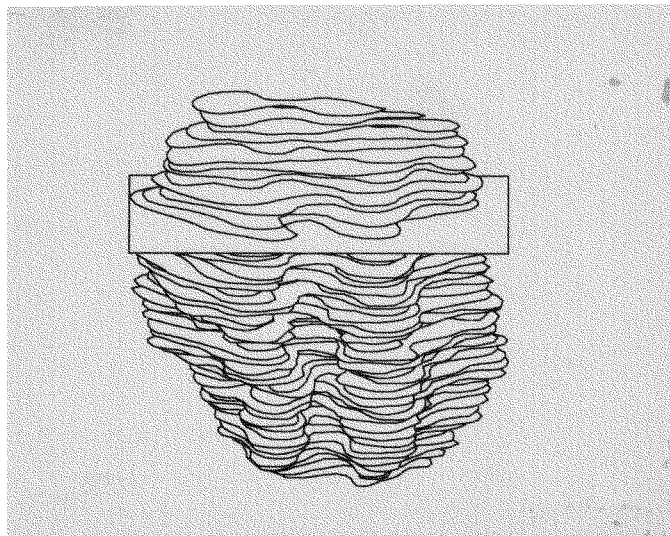


Fig. 27. 2b



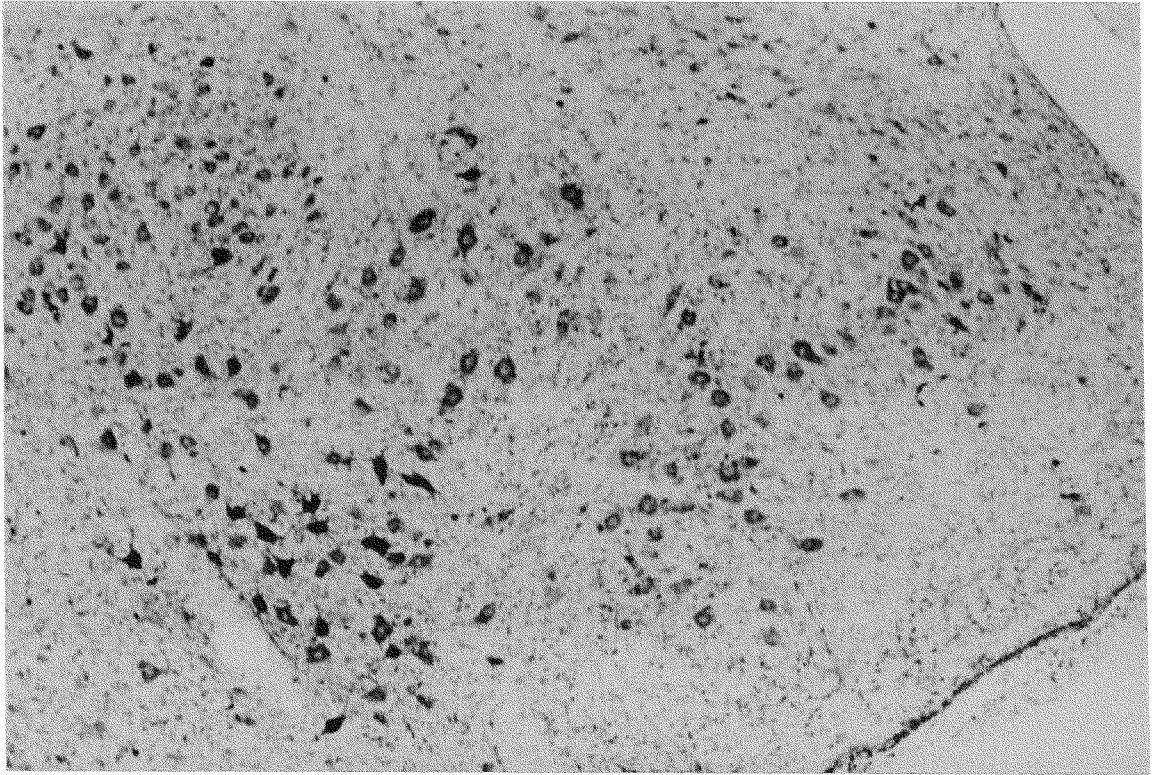


Fig. 27. 3a

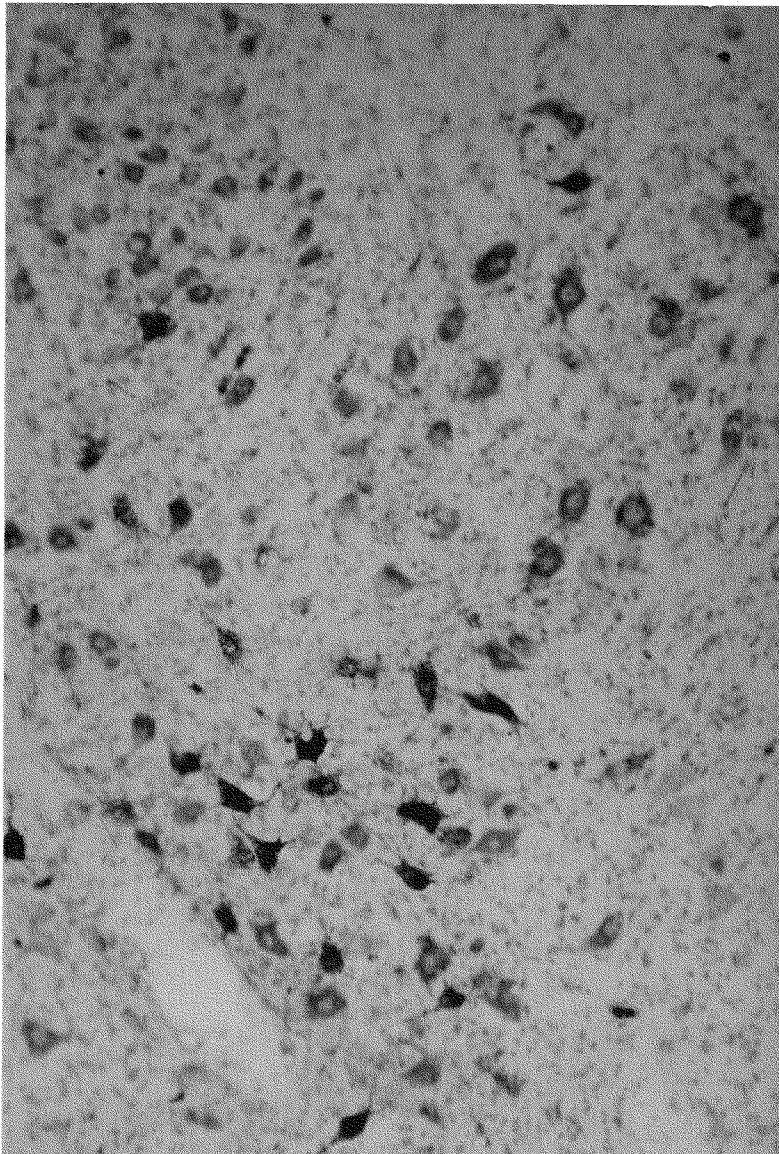
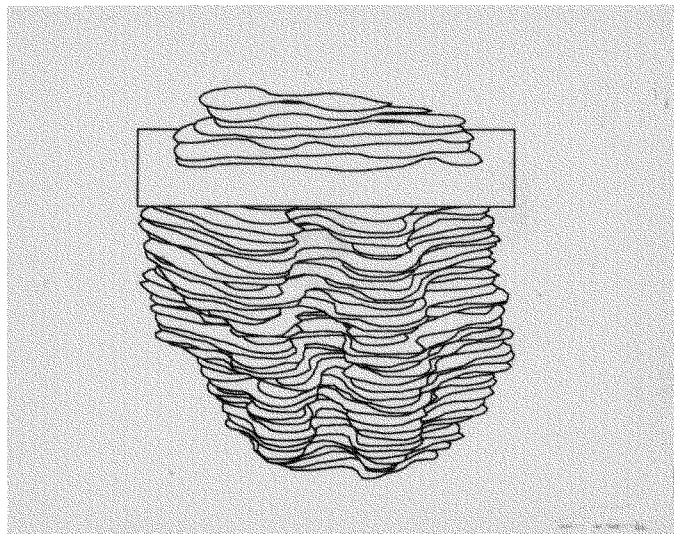


Fig. 27. 3b



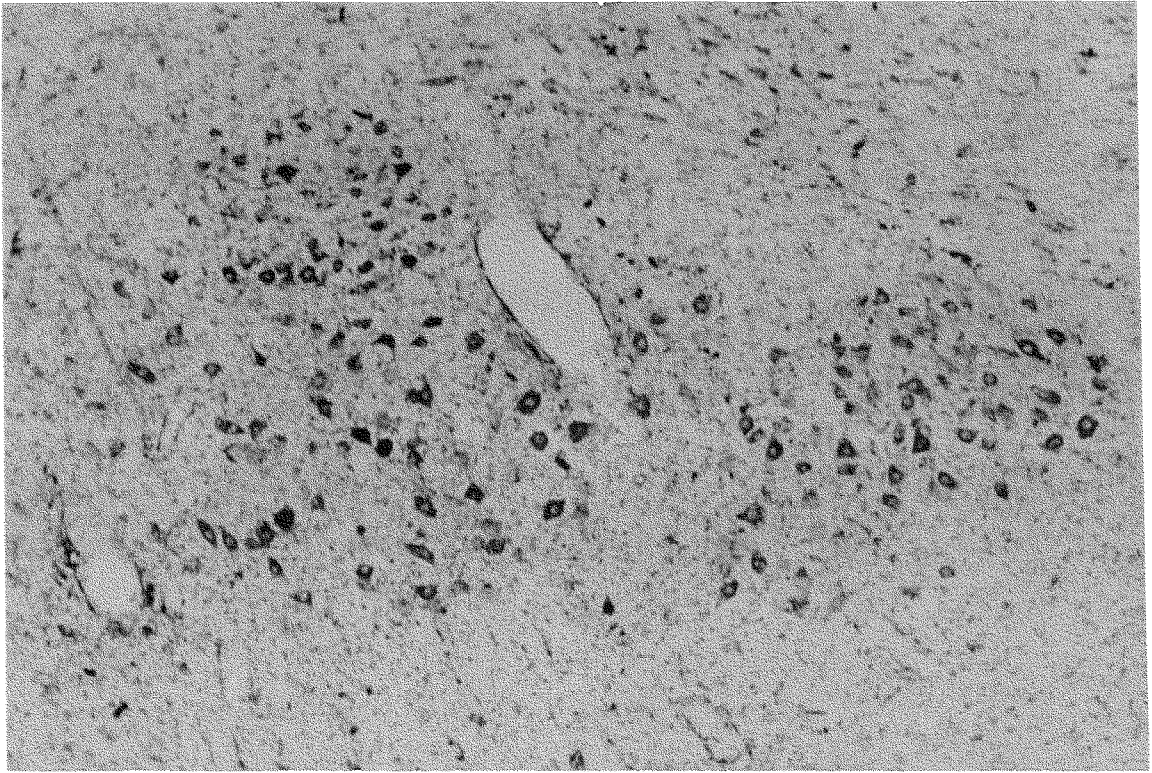


Fig. 27. 4a

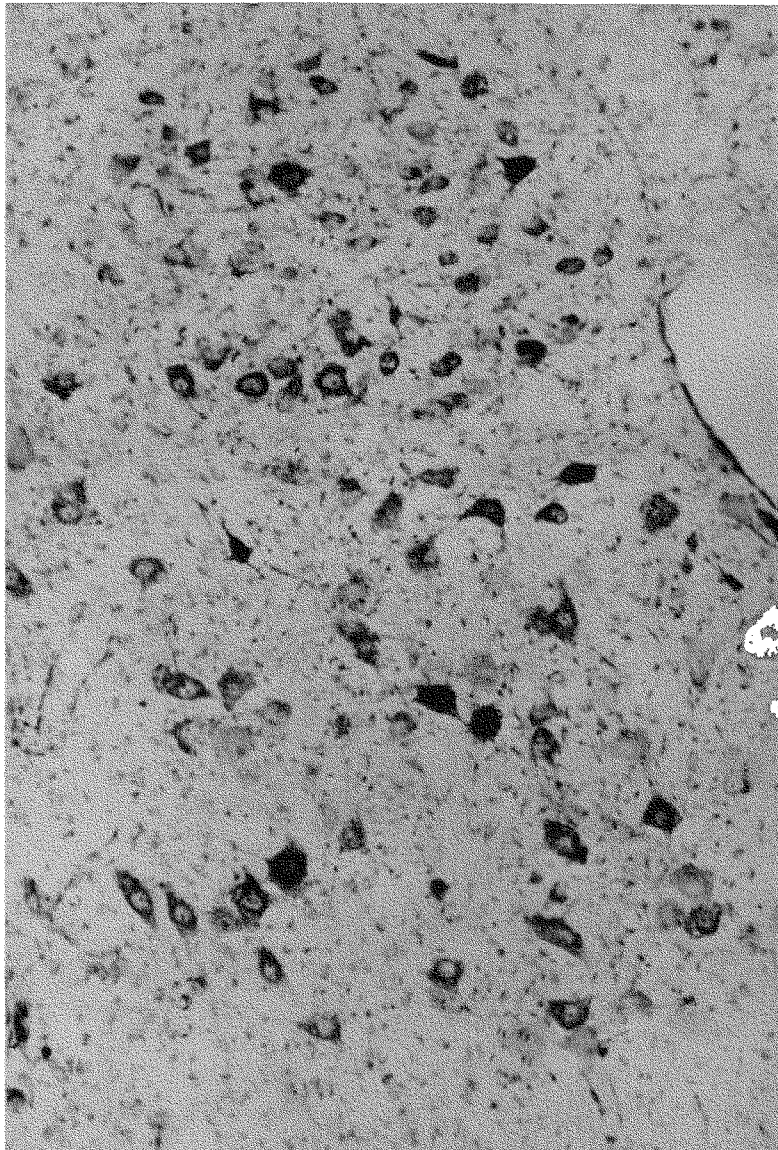


Fig. 27. 4b

Fig. 28. - Características morfológicas que presentan las neuronas de la población auricular anterior.

Fig. 28.1. - Neuronas del subnúcleo intermedio-medial. (x200).

Fig. 28.2. - Neuronas del subnúcleo dorsomedial. (x200).

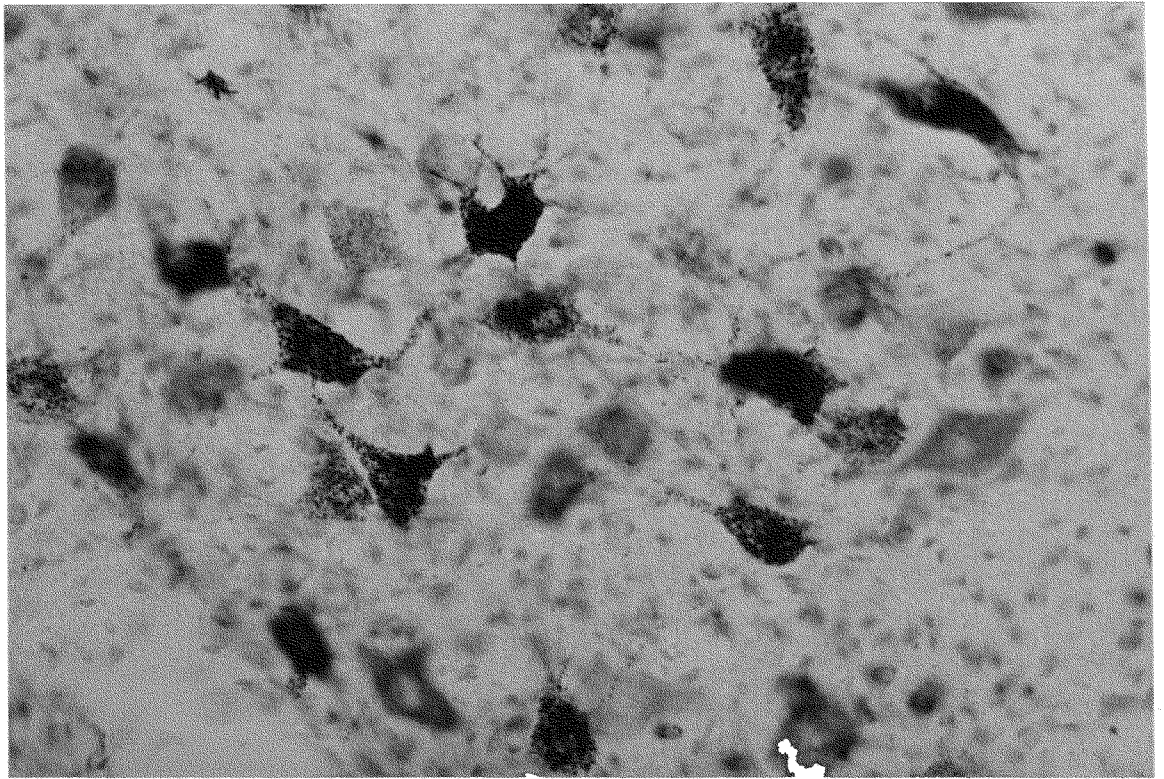


Fig. 28. 1

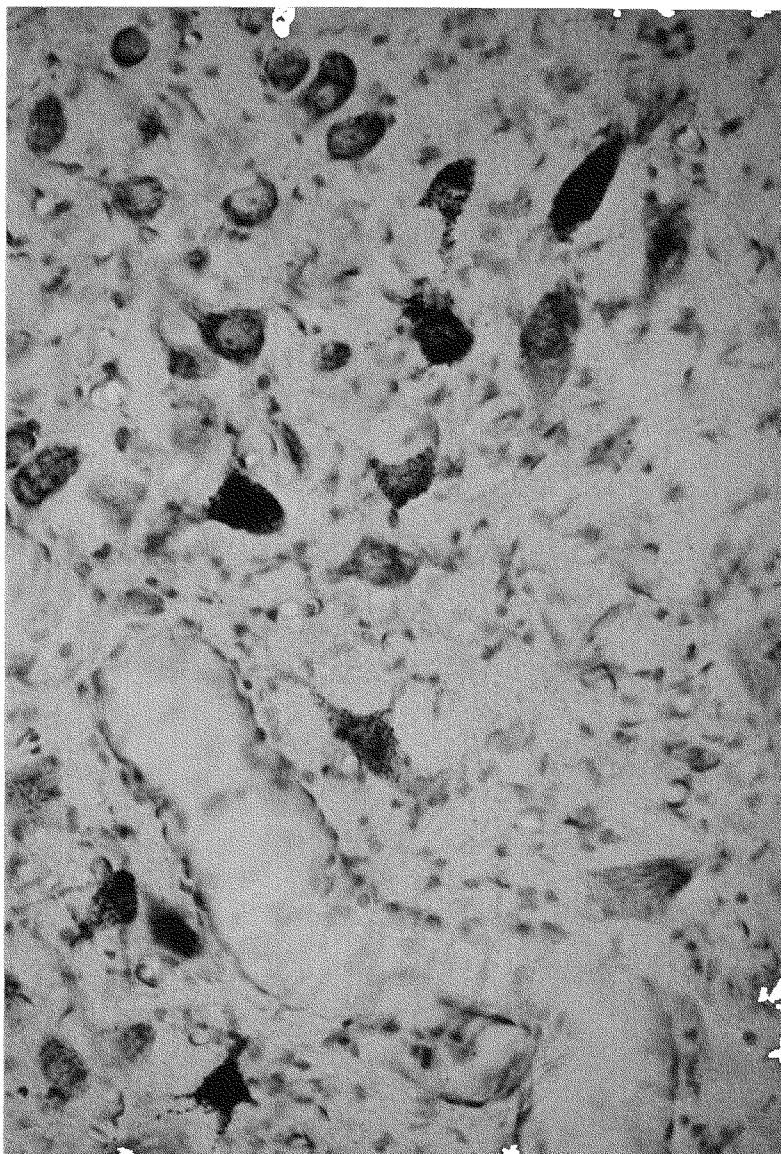


Fig. 28. 2

ANALISIS MORFOMETRICO DE LA POBLACION:

- AURICULAR ANTERIOR (R1).

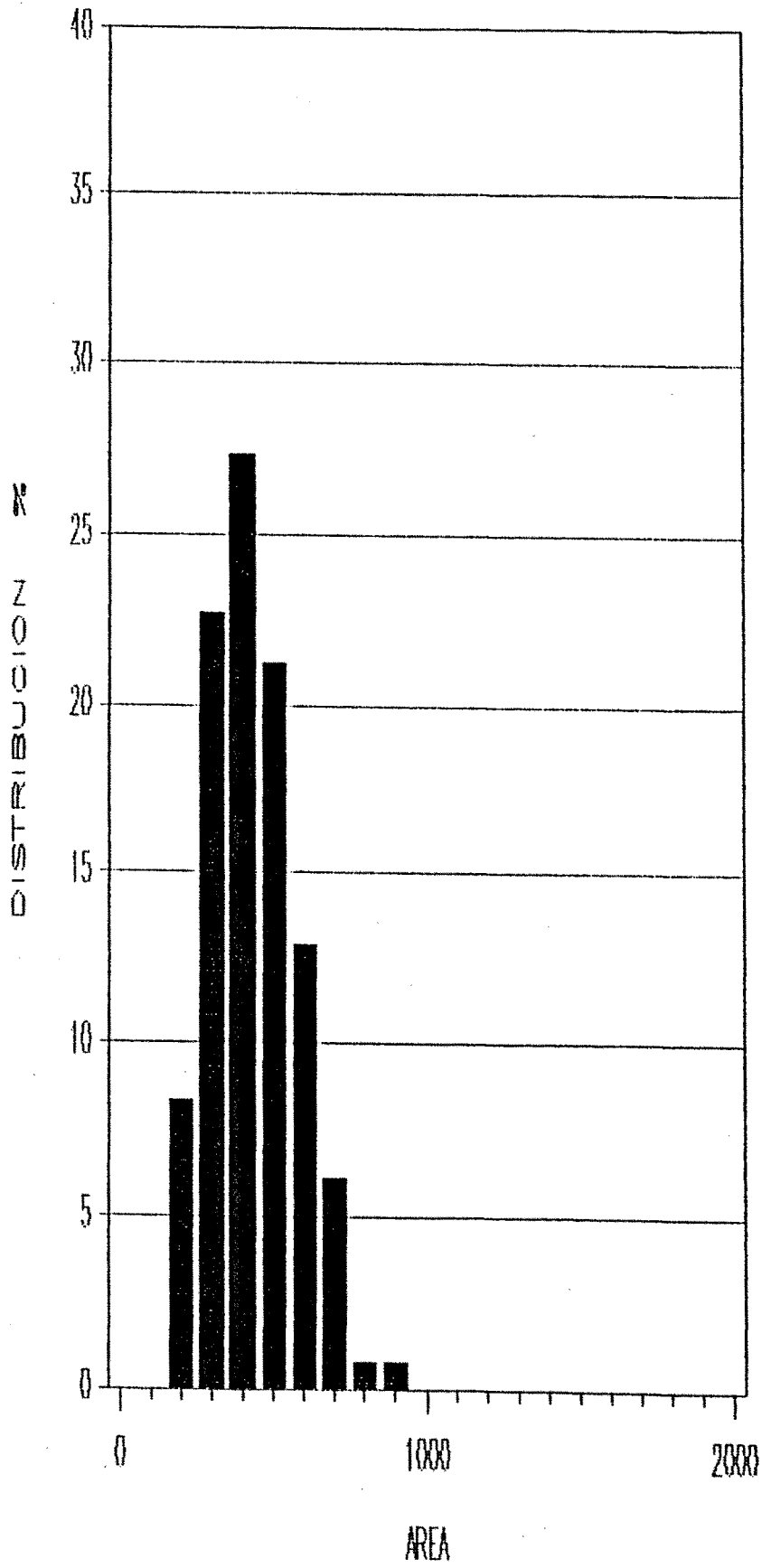
Tablas 1, 2 y 3.

Gráficas 1 - 8.

AREA	
CLASE (μm^2)	F. REL (%)
0- 100	
100- 200	
200- 300	8.33
300- 400	22.73
400- 500	27.27
500- 600	21.21
600- 700	12.88
700- 800	6.06
800- 900	0.76
900-1000	0.76
1000-1100	
1100-1200	
1200-1300	
1300-1400	
1400-1500	
1500-1600	
1600-1700	
1700-1800	
1800-1900	
1900-2000	
2000-2100	

PERIMETRO	
CLASE (μm)	F. REL (%)
50- 60	
60- 70	2.27
70- 80	11.36
80- 90	14.39
90-100	27.27
100-110	16.67
110-120	12.88
120-130	10.61
130-140	3.03
140-150	0.00
150-160	1.52
160-170	
170-180	
180-190	
190-200	
200-210	
210-220	
220-230	
230-240	
240-250	
250-260	

Tabla 1: Distribuciones del área y perímetro neuronales, expresadas en porcentajes de frecuencia relativa, correspondientes al análisis morfométrico efectuado sobre la población auricular anterior (R1) y representadas en las gráficas 1 y 2 respectivamente.



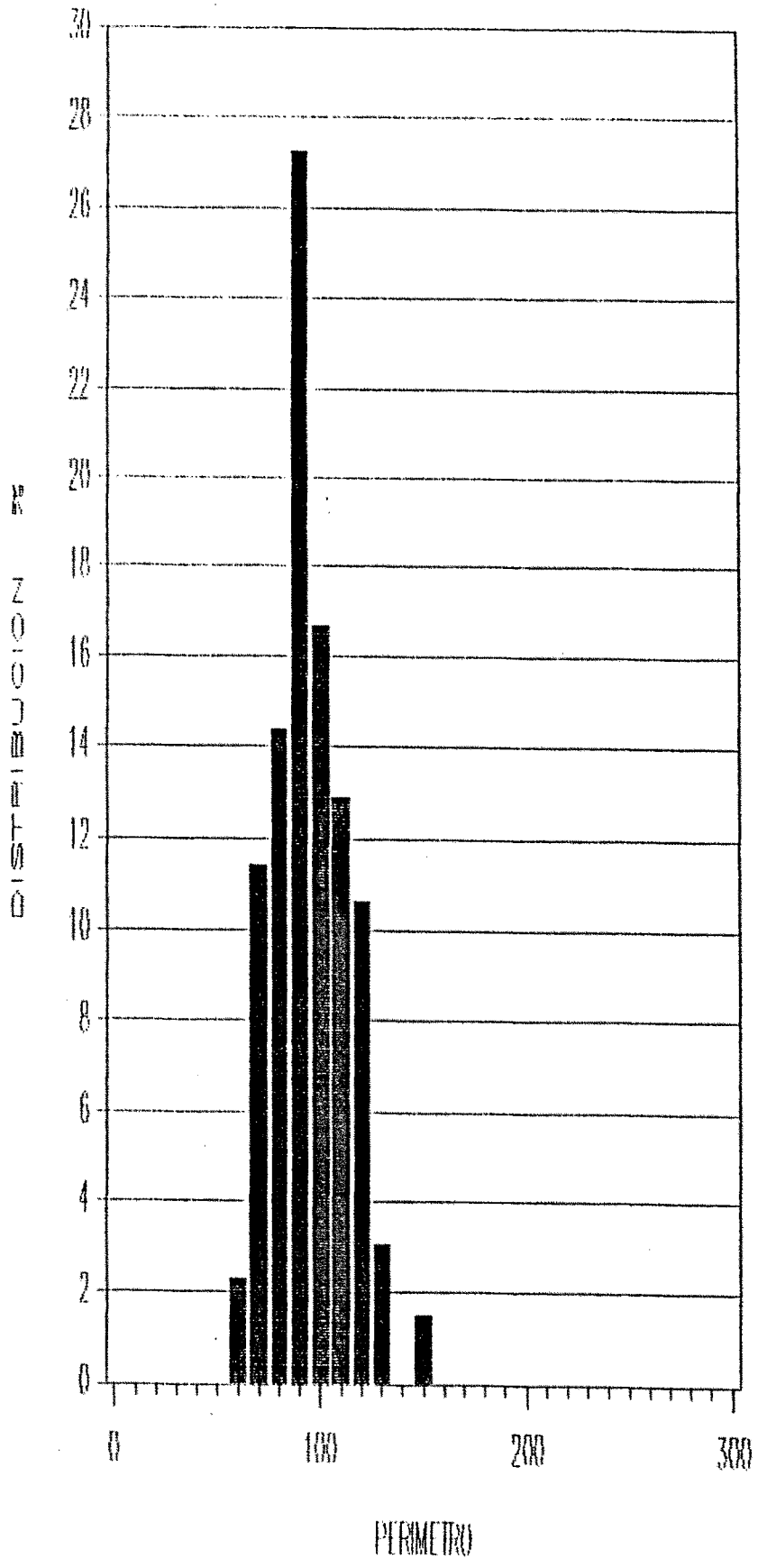
Gráfica 1

D. MAX	
CLASE (μm)	F. REL (%)
0-10	
10-20	
20-30	26.52
30-40	55.30
40-50	15.91
50-60	1.52
60-70	0.76
70-80	

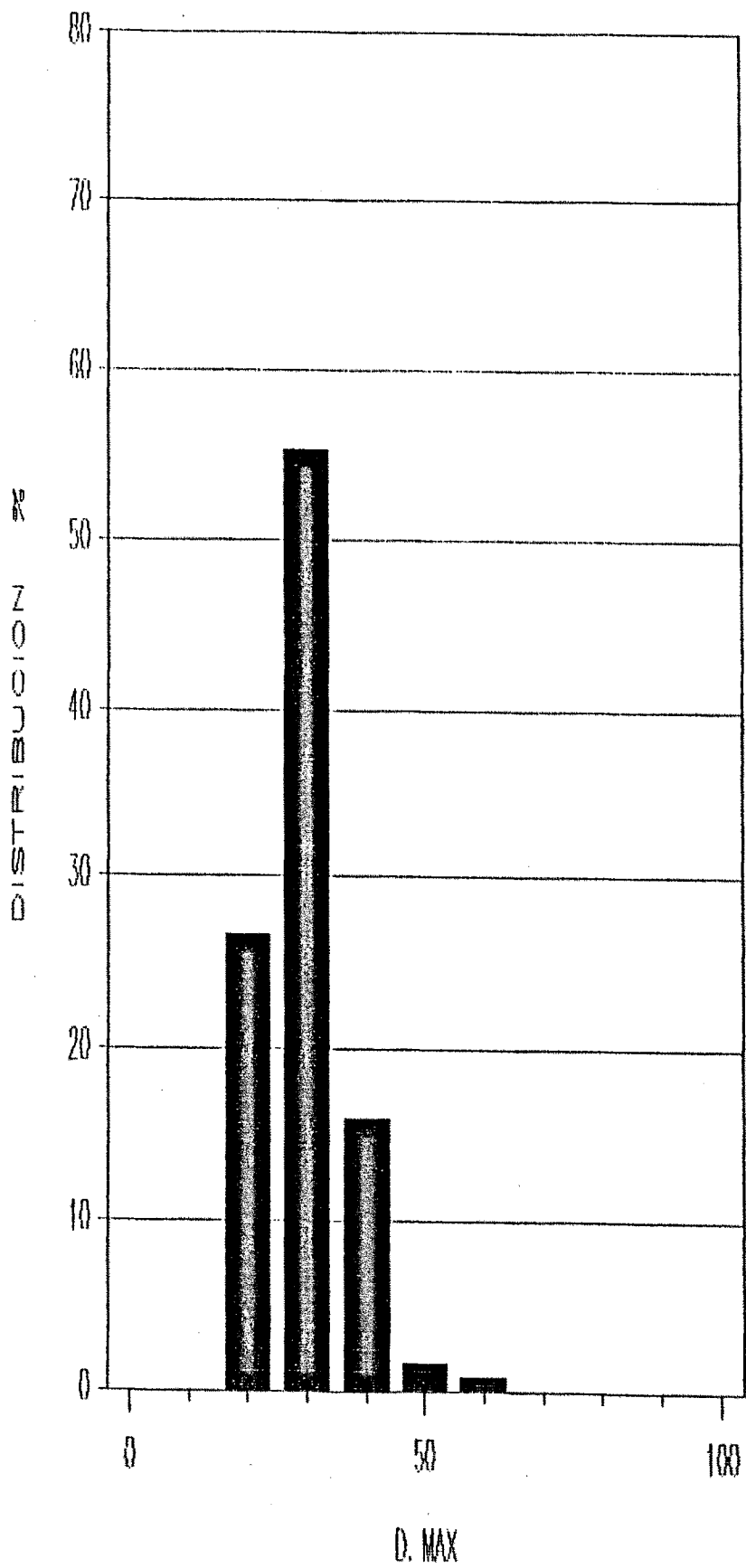
D. MIN	
CLASE (μm)	F. REL (%)
0-10	
10-20	36.36
20-30	61.36
30-40	2.27
40-50	
50-60	
60-70	
70-80	

D. MED	
CLASE (μm)	F. REL (%)
0-10	
10-20	2.27
20-30	64.39
30-40	31.82
40-50	1.52
50-60	
60-70	
70-80	

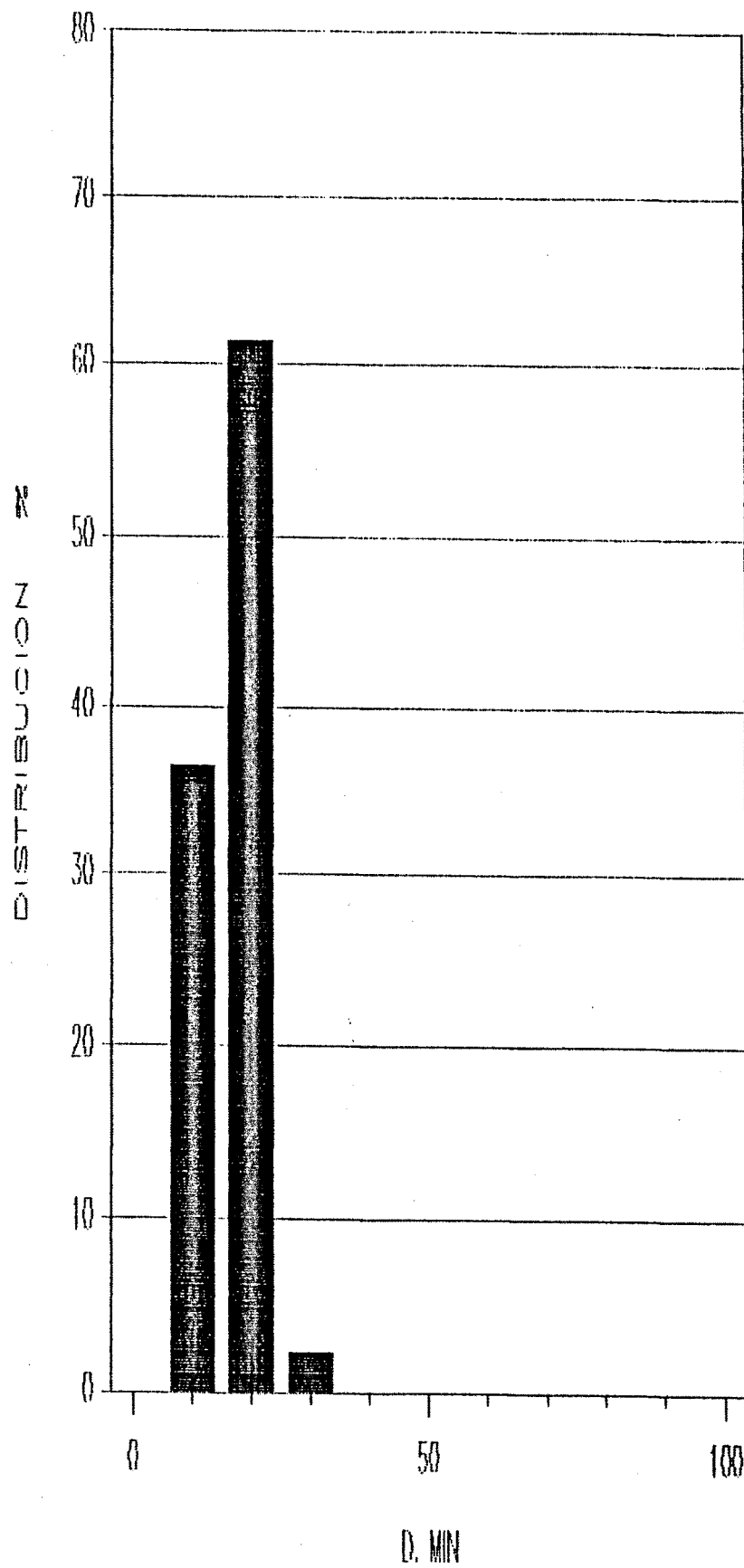
Tabla 2: Distribución del diámetro neuronal máximo, mínimo y medio, expresada en porcentajes de frecuencia relativa, correspondiente al análisis morfométrico efectuado sobre la población auricular anterior (R1), y representada en las gráficas 3, 4 y 5 respectivamente.



Gráfica 2



Gráfica 3



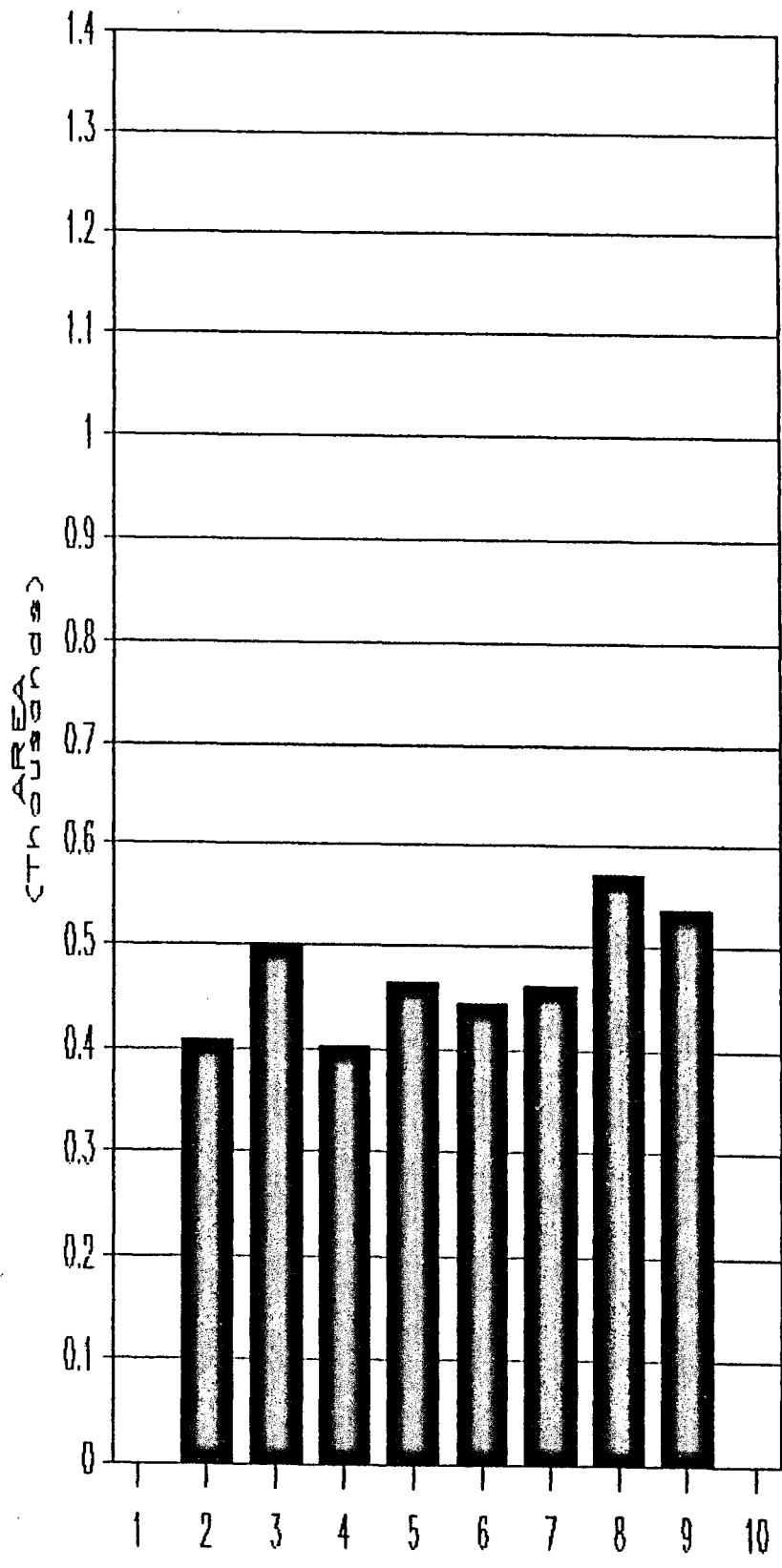
Gráfica 4

AREA		
CLASE	MEDIA \pm σ	
	(μm^2)	
1		
2	406.35 \pm 74.1	
3	498.89 \pm 132.0	
4	400.81 \pm 98.1	
5	462.81 \pm 137.1	
6	444.46 \pm 132.6	
7	460.62 \pm 133.3	
8	571.03 \pm 138.4	
9	537.28 \pm 142.0	
10		

PERIMETRO		
CLASE	MEDIA \pm σ	
	(μm)	
1		
2	91.87 \pm 9.1	
3	100.03 \pm 16.3	
4	87.16 \pm 13.9	
5	95.31 \pm 15.4	
6	100.41 \pm 18.2	
7	97.61 \pm 18.9	
8	110.40 \pm 19.9	
9	104.32 \pm 17.0	
10		

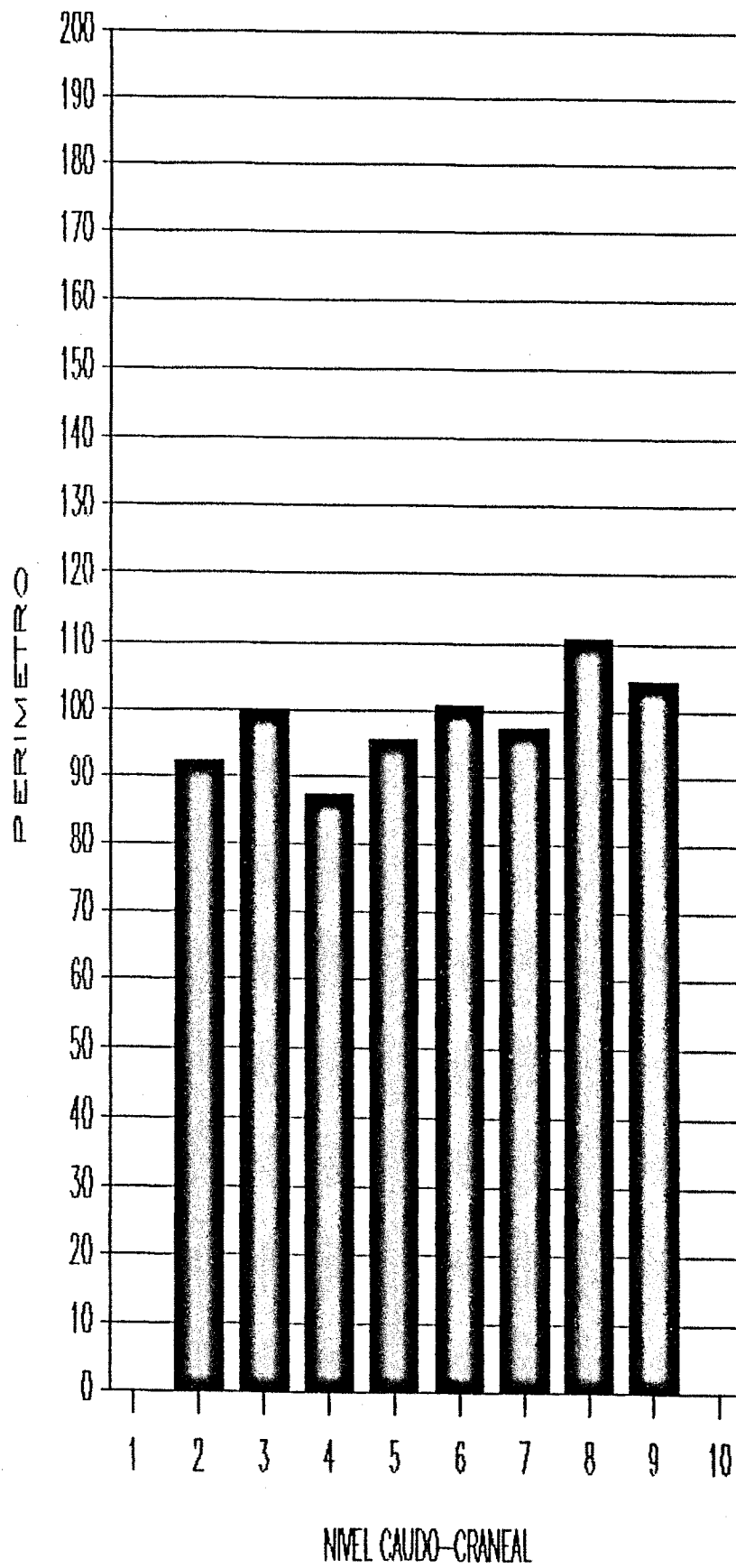
D. MED		
CLASE	MEDIA \pm σ	
	(μm)	
1		
2	25.52 \pm 2.3	
3	28.09 \pm 4.3	
4	24.87 \pm 3.5	
5	27.18 \pm 4.5	
6	28.02 \pm 4.7	
7	27.52 \pm 4.7	
8	30.93 \pm 4.8	
9	29.32 \pm 4.4	
10		

Tabla 3: Distribuciones del área, perímetro y diámetro medio neuronales, expresadas en valores medios calculados en 10 niveles caudo-craneales consecutivos del núcleo facial, correspondientes al análisis morfométrico efectuado sobre la población auricular anterior (R1), y representadas en las gráficas 6, 7 y 8 respectivamente.

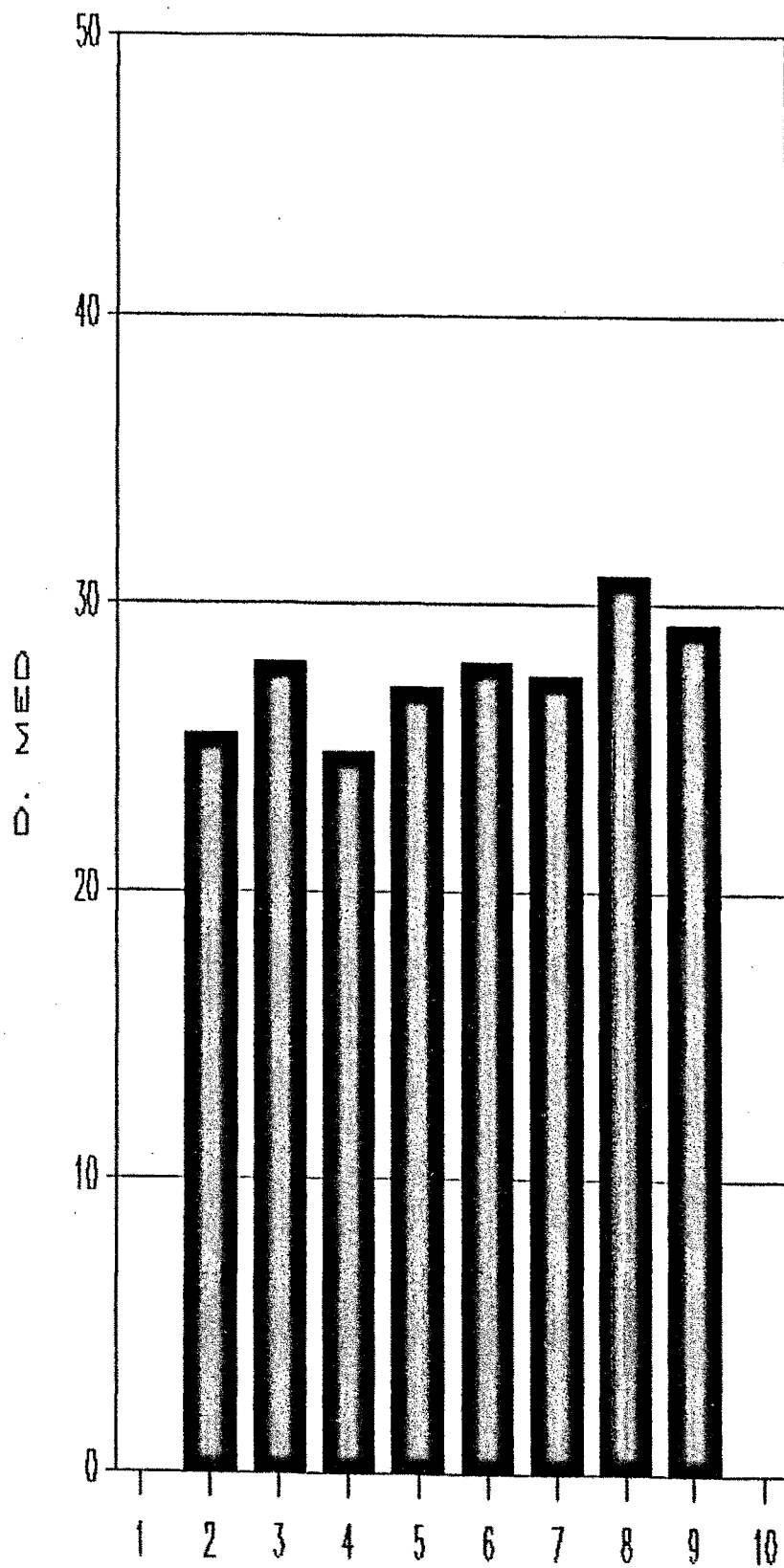


NIVEL CAUDO-CRANEAL

Gráfica 6



Gráfica 7



NIVEL CAUDO-CRANEAL

Gráfica 8